

水面付近の矩形水平版に作用する水平波力

谷本勝利*・高橋重雄*

1. まえがき

外海に建設される固定式のシーバースでは、ドルフィンなど構造物に作用する波力に対する検討が必要となる。その際、下部構の杭など海中部材に作用する波力については多くの研究成果があり、いわゆる Morison 式を用いて一応算定可能である。一方上部構については、一般の海洋構造物では波力が作用しないように十分高く設けるのが普通であるため、ほとんど研究されていない。しかしながら、シーバースのドルフィンなどにおいては、その利用条件あるいは作業条件等から、波の作用を許容する場合があり、波力の評価が必要である。

本研究はこうしたドルフィン上部工を対象として、水面付近に固定された有限厚の矩形水平版に作用する波力の実用的算定法を求める目的としたものである。このような水平版には水平波力と垂直波力すなわち揚圧力が作用することになるが、本稿においてはそのうち水平波力についてのみ述べることにする。

2. 波力算定の基本式

一般に、波動の場が大きく乱されない水中に固定された小物体に働く波力 F は、水粒子の加速度 α に比例する慣性力 F_I と水粒子速度 u の自乗に比例する抗力 F_D の和で次のように与えられる。

$$F = F_I + F_D = C_M \frac{w_0}{g} \alpha V + C_D \frac{w_0}{2g} |u| u A \quad \dots(1)$$

ここに、 C_M 、 C_D は慣性力及び抗力係数、 w_0 は流体の単位体積重量、 g は重力の加速度、 V 、 A は物体の体積及び投影面積である。

一方、物体が大きくなると慣性力が卓越するようになる。こうしたところでの波力は次のかたちで表わされることも多い。

$$F_F = (\text{Froude-Krilov の力}) + (\text{散乱波による力}) \quad \dots(2)$$

ここに、Froude-Krilov の力は入射波による物体境界での圧力による力で、位相の問題を別にすれば式(2)は次式のように近似できる。

$$F_F = C_F (\text{Froude-Krilov の力}) \quad \dots(3)$$

係数 C_F は散乱波の影響による Froude-Krilov の力に対する補正係数である。式(1)の慣性力 F_I と式(3)による F_F は物体中心での加速度に比例する力とするか、周辺境界における圧力を用いるかの違いである。図-1 に例として直立円筒に対する係数 C_M と C_F を比較して示した。これからもわかるように、 C_M と C_F は一般には違った値となるが、極小物体に対しては圧力勾配が加速度と同じであるため一致する。

さて、本研究で対象としている物体は水面付近に固定されたある程度の大きさを有する水平版であり、波の波頂面付近の一部分のみが作用する状態を含み、取り扱いが複雑となる。簡単のため、図-2 に示しているよ

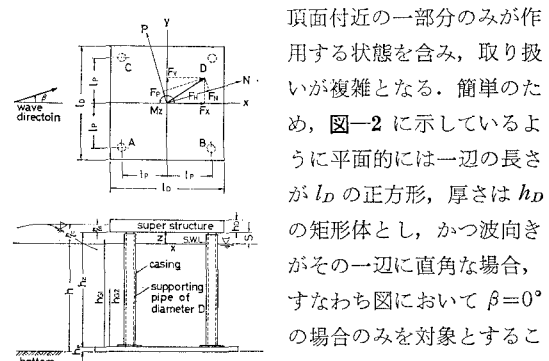


図-1 円筒の場合の C_M 、 C_F

うに平面的には一辺の長さが l_D の正方形、厚さは h_D の矩形体とし、かつ波向きがその一辺に直角な場合、すなわち図において $\beta = 0^\circ$ の場合のみを対象とすることにする。そして、このときの波力を式(3)の F_F と水粒子速度の自乗に比例する抵抗力 F_R の和として次式で表わされるものと仮定する。

$$F_x = F_{Fx} + F_{Rx} \quad \dots(3)$$

$$F_{Fx} = C_F l_D \int_s^{s_{\max}} \{p_{x=-l_D/2} - p_{x=l_D/2}\} dz \quad \dots(4)$$

$$F_{Rx} = C_R \frac{w_0}{4g} l_D \times \int_s^{s_{\max}} \{(u|u|)_{x=-l_D/2} + (u|u|)_{x=l_D/2}\} dz \quad \dots(5)$$

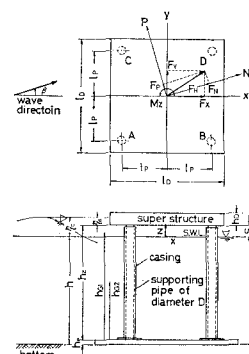


図-2 ドルフィン模型

$$\left. \begin{array}{l} s_{\max} = \eta, \\ \quad s \leq \eta \leq s + h_D \\ = s + h_D, \quad \eta > s + h_D \end{array} \right\} \dots \dots \dots \quad (6)$$

ここに, s は水平版下面の, η は波面の z 座標であり, z 軸は静水面に原点, 上向きを正とする. p, u は物体がないとしたときの入射波による圧力及び水粒子の x 方向速度成分である.

式(5)の速度の自乗の項は水平版前後面での速度の自乗の平均を用いることにしたもので、水平版が十分に水中に没し、かつ前後面における水粒子速度の変化が無視できる場合には、係数 C_R は抗力係数に一致する筈である。水面付近においては、こうした形状抵抗のほか表面にある効果すなわち造波抵抗などを含むものである。

一方、式(4)における圧力 p は波面付近を考える限り、次式で近似しても大差ない。

$$p = w_0(\eta - z) \quad \dots \dots \dots \quad (7)$$

結局、式(4)における p として式(7)を用い、前後面における波力の差のかたちで式(3)を表わすと次のようになる。

$$F_x = \left\{ C_F l_D w_0 \int_s^{\max} (\eta - z) dz + C_R \frac{w_0}{4g} l_D \int_s^{\max} u |u| dz \right\} \Big|_{x=-l_D/2} - \left\{ C_F l_D w_0 \int_s^{\max} (\eta - z) dz - C_R \frac{w_0}{4g} l_D \int_s^{\max} u |u| dz \right\} \Big|_{x=l_D/2} \dots (8)$$

ここで右辺第2項の $\{ \}$ 内が負になるときには、これを0とする。以上の仮定による波力について、三次元模型実験を行なうことにより、係数 C_F , C_R を検討することにする。

3. 模型及び波力の測定法

水平版に作用する波力は前掲図-2に示したように、歪みゲージを貼付した4本のアクリルパイプ支持4脚柱固定構造物の上部工に働く波力による応答を測定することによって検討することにした。この支持柱には波力が直接作用しないようにさらにケーシングを設けてある。模型は2基製作し、その幾何学的諸元は表-1に示したとおりである。 h_D はともに8cm, l_D は72cmと32cmであり、これらをそれぞれMD1, MD2と呼ぶ。表-1において、 h_{g1} , h_{g2} は固定底端からの歪みゲージ貼付高さ, t はパイプの肉厚である。支持柱は上部工及び底

表-1 模型の幾何学的諸元

	l_D (cm)	l_p (cm)	h_D (cm)	h_z (cm)	h_e (cm)	h_{g1} (cm)	h_{g2} (cm)	D (cm)	t (cm)	W_s (kg)
MD1	72	28.5	8	71	3	69	35.5	4.48	0.5	30.1
MD2	32	10.0	8	65	9	63	32.5	3.20	0.4	7.75

板に完全に固定した。

支持柱の歪み測定による上部工に作用する波力算定の原理は以下のとおりである。ただし、 x 方向にのみ波力が作用する場合について述べる。

上部工に x 方向の力 F_x が作用したとき、上部工は同方向に x_0 だけ変位する。支持柱 A, B, C, D 上端における変位もこれに等しく、反力 R_x は次式で与えられる。

$$R_{x(A,B,C,D)} = -\frac{12EI}{h_z^3} x_{(A,B,C,D)} \quad \dots \dots \dots (9)$$

ここに、添字 A, B, C, D はそれぞれ各支持柱での値を表わす。 EI は曲げ剛性、 h_z は支柱の高さである。

固定底端から高さ h_g の位置に貼付したゲージに検出される曲げ歪み ϵ_{bx} は

$$\varepsilon_{bx(A,B,C,D)} = \frac{6D}{h_z^2} \left(\frac{h_g}{h_z} - \frac{1}{2} \right) x_{(A,B,C,D)} \quad \dots (10)$$

したがって、動的効果を含めた見掛けの波力 F_{xa} は次式で与えられることになる。

$$F_{xa} = K_D x_0 \quad \dots \dots \dots \quad (11)$$

$$K_D = 4 \frac{12EI}{h_z^3} \quad \dots \dots \dots \quad (13)$$

$$\mu_b = \frac{6D}{h_z^2} \left(\frac{h_g}{h_z} - \frac{1}{2} \right) \dots \dots \dots \quad (14)$$

ここに、 D は支持パイプの外径である。

一方、上部工の動的釣合条件から次式を得る.

$$m\ddot{x}_0 + q\dot{x}_0 + K_D x_0 = F_x \quad \dots \dots \dots \quad (15)$$

ここに, m は上部工の等価質量, q は線型減衰係数である. F_x は式(3)あるいは式(8)において係数 C_F , C_E を適当に仮定することによって与えられるから, これに対し式(15)を逐次数値的に解くことが可能である. こうして求めた x_0 を用いて式(11)により, F_{xa} を求めることができる. そして, この計算値と測定曲げ歪みから求めた値を比較することにより, 真の波力を与える係数 C_F , C_E を検討する. その際, 波力算定式中の η , u は Stokes 波の第 3 次近似理論によって与えることにした.

表-2 模型の特性試験結果

	ab (kg)	K_D (kg/cm)	E (kg/cm 2)	T_n ^{*)} (sec)	β
MD1	3.24×10^4	8.25×10	4.88×10^4	0.151	0.05
MD2	1.31×10^4	2.77×10	4.51×10^4	0.124	0.04

*²) $h=74\text{ cm}$ の場合

表-2 に水平載荷試験から求めた
バネ定数 K_D 及び静水中の自由振動
試験から求めた固有振動周期 T_n ,
減衰定数 β などの値を示しておい
た. ただし, ここに a_b は K_D/μ_b で
ある.

4. 実験ケース

実験ケースは表-3に示しているとおりである。ドルフィン模型2ケース、静水面と上部工底面のクリアランス s は水深を変化させることにより5ケース、周期4ケース、波高は各条件により4~8ケースである。

表-3 実験ケース

	実験条件	ケース数
ドルフィン模型 l_D (cm)	MD1, MD2 72, 32	2
クリアランス s (cm)	8, 4, 0, -4, -8	5
水深 h (cm)	66, 70, 74, 78, 82	
周期 T (sec)	2.98, 2.12, 1.56, 1.13	4
h/L ($h=74$ cm)	0.096, 0.143, 0.216, 0.359	
波高 (cm)	約 12~34	4~8

l_D/L は MD1 で $0.093\sim0.349$, MD2 で $0.042\sim0.155$, 代表長さを l_D にとったときの Reynolds 数及び Froude 数は, MD1 で $(2.1\sim6.1)\times10^5$ 及び $0.11\sim0.32$, MD2 で $(0.9\sim2.7)\times10^5$ 及び $0.16\sim0.47$ である。ただし, u は Stokes の第3次近似理論による静水面での最大水平水粒子速度成分を用いた。

図-3 は波頂高 η_0 について、波高を横軸にとって測定値と計算値を示したものである。周期の長い条件については計算値がやや大きい値を示すが、全体的にはほぼ許容できを差といえる。

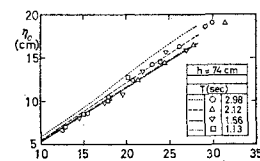


図-3 η_0/H の測定値と Stokes 第三次近似波との比較

5. 実験結果及び考察

(1) 波力の時間変化

図-4 は静水時に上部工が半没する条件での波力の時間的変化を示したものである。歪み測定から求めた見掛け水平波力 F_{xa} 、計算から求めた前後面での波力の分力 F_F , F_R 、合力 F_x 、見掛けの波力 F_{xa} 、前面における水位 η を示している。ただし、計算による値は後述の C_F , C_R を用いて求めたものである。測定及び計算による F_{xa} を比較すると、正のピーク付近では計算値が、負のピーク付近では測定値が、絶対値でやや小さい。すなわち波力の正負における非対称は測定値の方が顕著に現われている。これは C_F , C_R の係数の与え方によるほか、計算における F_F を正負対称としていることによる違いと思われる。また、測定値には固有振動が現われており、動的効果の影響の違いも一因として考えられる。以下計算結果に基づいて若干説明を加える。

この場合、上部工は静水時において半没状態であるた

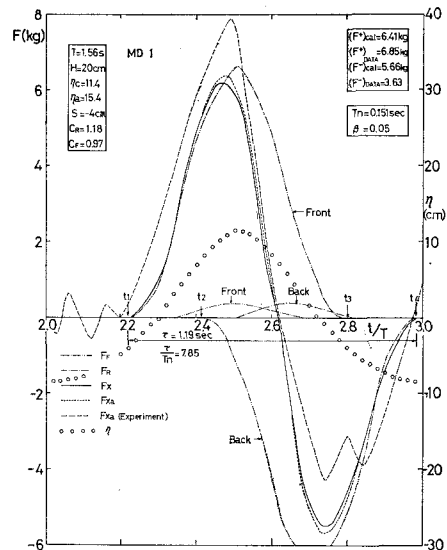


図-4 測定及び計算による波力の時間的変化
(MD1, $T=1.56$ sec, $H=20$ cm, $s=-4$ cm)

め、波力の作用時間 τ は t_1 から t_4 までの 1.19 sec とかなり長い。そのうち前面に作用している時間は $t_1\sim t_3$ 、後面に作用している時間は $t_2\sim t_4$ で、 $t_2\sim t_3$ 間は同時に作用する。波力の分力 F_F と F_R は図の前後面での値の和となり、 $\tau/2$ を中心として F_F は逆対称、 F_R は対称となる。本条件の場合、同一面においても F_F が大きく、かつ l_D/L が大きいため、すなわち t_1 , t_2 の時間間隔が大きいため前後面での圧力差も大きくなるので、 F_F が F_R より卓越する。また、 F_x の正及び負のピーク時刻も F_F のそれと大差ないことがわかる。これに対し、図-5 はクリアランスが大きく、波頂面付近のわずかしか波が作用しない条件での結果を示したものである。この場合波力の作用時間 τ は 0.3 sec と短く、固有振動周期に近いため、顕著な自由振動が認められる。しかしながら、その現われ方は測定によるものにおいてより著しい。波力を前後面での波力に分けたときの後面での波力は計算上負となり、0 としている。したがって、前

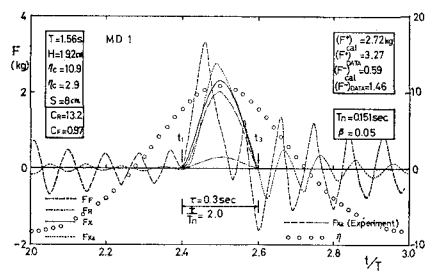


図-5 測定及び計算による波力の時間的変化
(MD1, $T=1.56$ sec, $H=19.2$ cm, $s=8$ cm)

面に作用する波力のみとなり、この場合 F_F , F_R , F_x のピーク時刻は一致する。波力の値は波がわざかしか作用しない割には大きく、 F_R が著しく卓越している。

(2) 係数 C_F 及び C_R の決定

以上に例示したように、上部工が水没して波が大きくなると、かつ l_D/L が適当に大きいとき F_F が卓越し、クリアランスが大きく、波頂面付近のわずかな部分だけが作用するときに F_R が卓越するといえる。そのため、それぞれの卓越条件のもとで係数 C_F , C_R を検討することとした。

まず係数 C_F を $s = -8 \text{ cm}$ の場合の実験結果に基づいて検討する。この場合、波力の正及び負のピーク時刻は前述したとおり F_F のピーク時刻とほぼ一致し、そのときの F_R は対称性のため同じ値となる。かつ、動的応答による影響はほとんど無視できるので、次式の関係が近似的に成立する。

$$F_{x'a}^+ = (F_{x'a}^+ - F_{x'a}^-)/2 \quad \dots \dots \dots \quad (16)$$

ここに、 F_{Fa}^+ は F_{Fa} の正のピーク値、 F_{xa}^+ , F_{xa}^- は F_{xa} の正及び負のピーク値である。

F_R が卓越するようになるとこの関係は成り立たなくなるが、実際 $C_F=1.0$ として C_R を 0 から 4 の範囲で数値計算を行なってみても、 $H=25\text{ cm}$ のとき l_D/L が 0.15 以上では、式 (16) による F_F^+ の値はほとんど F_R の影響を受けない。また、波高については小さいほど影響を受けない傾向にある。そのため、ここでは一応 $C_R=2.0$ とし、 $C_F=1.0$ として計算を行なって式 (16) から求めた F_F^+ を $(F_F^+)_\text{CAL}$ とし、次式により C_F を求めることにした。

$$C_F = (F_{Fa}^+)_\text{DATA}/(F_{Fa}^+)_\text{CAL} \quad \dots \dots \dots \quad (17)$$

図-6 は横軸に波高 H をとって、この値をプロットしたものである。波高の増大につれてこの C_F は減少傾向を示している。これは波高が大きくなるにつれて、ここで考慮していない F_R の非対称性が増し、式(16)の関係が成り立たなくなっていることによると考えられる。したがって、各条件での C_F としてはほぼ一定の値を示す波高の小さいところでの値をとることにする。こ

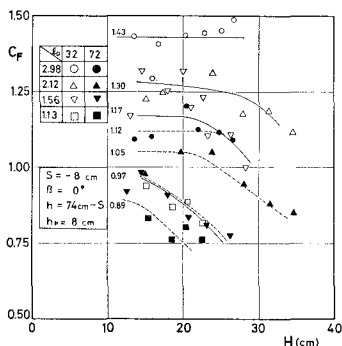


図-6 C_F 値の波定

の値を図中に示しておいた。図-7 はこうして決定した C_F を I_D/L に対して示したものである。その結果はほぼ連続的な変化を示し、 $I_D/L \rightarrow 0$ では慣性力係数に一致すると思われる。

次に C_R を $s=0, 4, 8 \text{ cm}$ の実験データに基づいて検討する。図-8, 9 は C_F として図-7 で決定した値を用い、 F_{xa}^+ に対して求めた C_R を、横軸に $c/\sqrt{g\eta_a}$ をとって示したものである。ここに、 c は波速であり、 $c/\sqrt{g\eta_a}$ は一種の Froude 数を表わす。データは種々の誤差を集積したものとなることもあって、ばらつきは大きい。しかしながら、 C_R は上部工が十分水中に没するような場合すなわち $c/\sqrt{g\eta_a}$ が十分小さい場合には、抗力

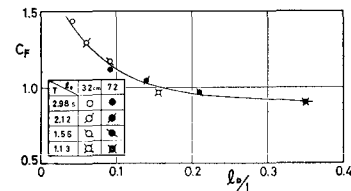


図-7 l_D/L に対する C_F の変化

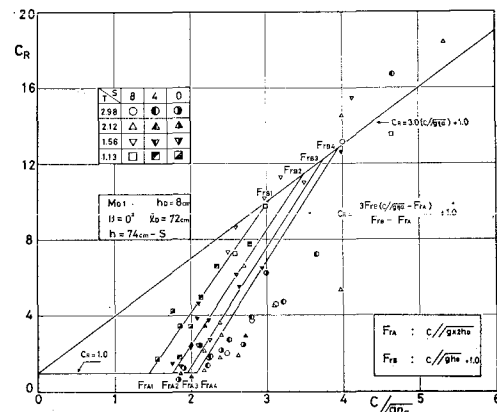


図-8 係数 C_R (MD1)

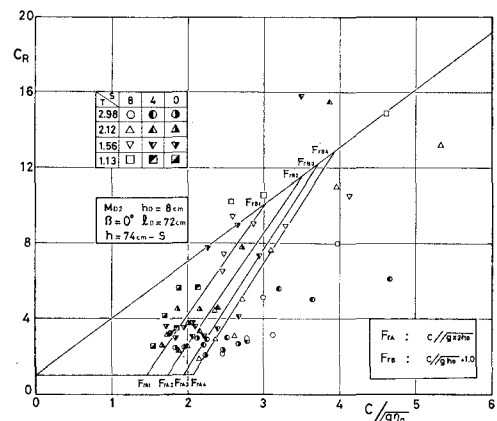


図-9 係数 C_R (MD2)

係数と一致する筈であり、水面付近にあればあるほどすなわち $c/\sqrt{g\eta_a}$ が大きいほど、造波抵抗などの表面効果を表わすようになって、 $c/\sqrt{g\eta_a}$ とともに大きくなるものと考えられる。これらの点を考慮し、係数 C_R を次の関係で表わすことにした。

$$\left. \begin{aligned} C_R &= C_D, & c/\sqrt{g\eta_a} &\leq F_{rA} \\ C_R &= \alpha_1 c/\sqrt{g\eta_a} + \beta_1, & F_{rA} &< c/\sqrt{g\eta_a} < F_{rB} \\ C_R &= \alpha_2 c/\sqrt{g\eta_a} + \beta_2, & c/\sqrt{g\eta_a} &\geq F_{rB} \end{aligned} \right\} \quad \dots \dots \dots \quad (18)$$

抗力係数 C_D の値としては、実験の下限値などを考慮して 1.0 とした。次に、式 (18) の第 3 式は上部工に対し越波しない状態、すなわち $\eta_a < h_D$ の領域に対応するものと考え、かつ $c/\sqrt{g\eta_a} \rightarrow 0$ のときには C_D と等しいとして、実験結果の傾向から、 $\alpha_2=3.0$, $\beta_2=1.0$ を与えることにした。したがって第 2 式は第 3 式と第 1 式を結ぶ直線であるから、 F_{rA} と F_{rB} を与えれば決定する。図-10 は横軸に周期をとって、データの傾向から求めた F_{rA} , F_{rB} を示したものである。MD1, MD2 によってやや傾向が異なるが、主として MD1 に対し、この領域では h_D が重要な要素であることを考慮して決定すると次の関係となる。

$$F_{rA} = c / \sqrt{g \times 2h_D} \quad \dots \dots \dots \quad (19)$$

$$F_{rB} = c / \sqrt{g \times h_D} + 1.0 \quad \dots \dots \dots \quad (20)$$

図中の点線はこの関係を表わしている。このとき、 α_1 , β_1 は次式で与えられる。

$$\beta_1 = 1.0 - 3F_{rA}F_{rB}/(F_{rB}-F_{rA}) \quad \dots \dots \dots \quad (22)$$

(3) 実験値と計算値の比較

以上、 F_F , F_R のそれぞれ卓越した条件での結果を用いて、係数 C_F , C_R を決定した。次に、全データに対し、これらの係数を用いた計算による見掛け水平最大波力 (F_{xa}^+)CAL と実験による同値 (F_{xa}^+)DATA を比較する。

図-11, 12 はそれぞれ MD1, MD2 に対し、 $(F_{xa}^+)_\text{DATA}$ と $(F_{xa}^+)_\text{CAL}$ の相関を示したものである。MD1 に対しては ±20% の範囲に 87% のデータが入っており、ほぼ満足できる結果といえる。MD2 に対しては 70% となり、ややばらつきが大きい。しかしながら、実用的には本論において示した方法によって水面付近に固定された水平版に作用する波力をある程度推定できるものと考える。

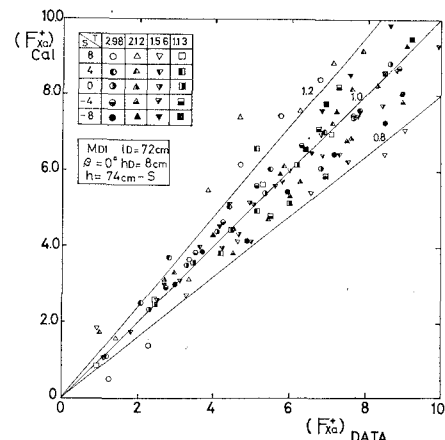


図-11 実験値と計算値の相関 (MD1, F_{xa}^+)

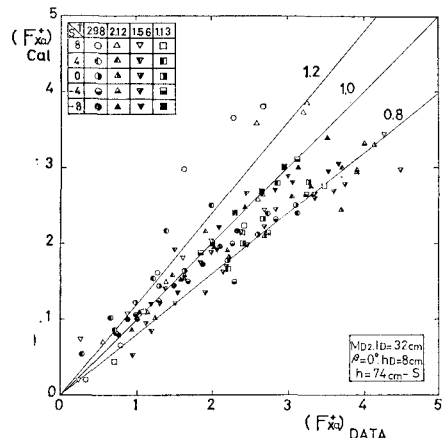


図-12 実験値と計算値の相関 (MD2, F_{xa}^+)

6. ま と め

- 波力は式(3)に示したように圧力勾配による力(Froude-Krilovの力)に係数 C_F を乗じたものと、水粒子速度の自乗に比例する係数を含んだ抵抗力との和で与えられる。
 - 係数 C_R は図-7に示したように、水平版の長さ l_D と波長 L の関数として与えられる。また、 C_R は次式により求められる。

$$C_R = 1.0, \quad c/\sqrt{g\eta_a} \leq Fr_A$$

$$C_R = \frac{3F_{rB}}{F_{rB} - F_{rA}}(c/\sqrt{g\eta_a} - F_{rA}) + 1.0$$

$$Fr_A < c/\sqrt{g\eta_a} < Fr_B$$

$$C_R = 3 \frac{c}{\sqrt{g\eta_a}} + 1.0, \quad Fr_B \leq c/\sqrt{g\eta_a}$$

ここに, c は波速, η_a は水平版底面からの波頂高であり, F_{rA}, F_{rB} は c と水平版厚 h_D の関数として式(19), (20) により与えられる.